ГОРЕНИЕ, ВЗРЫВ И УДАРНЫЕ ВОЛНЫ

УЛК 662.215.5

АНАЛИЗ ЧУВСТВИТЕЛЬНОСТИ СМЕСЕЙ ОКТОГЕНА С АЛЮМИНИЕМ ПО РЕЗУЛЬТАТАМ ИСПЫТАНИЙ МЕТОДОМ РАЗРУШАЮЩЕЙСЯ ОБОЛОЧКИ

© 2022 г. А. В. Дубовик*

Федеральный исследовательский центр химической физики им. Н.Н. Семёнова Российской академии наук, Москва, Россия *E-mail: a-dubovik@mail.ru
Поступила в редакцию 23.07.2021;
после доработки 16.08.2021;
принята в печать 20.08.2021

На примере смесей октогена с порошками алюминия различной дисперсности выполнен приближенный теоретический анализ метода испытаний твердых взрывчатых веществ (ВВ) на чувствительность к механическим воздействиям, известный как метод разрушающейся оболочки (РО). Для проведения расчетов критических параметров инициирования взрыва во время снятия нагрузки на ВВ (давлений, скоростей вещества и пр.) разработана физическая модель механического поведения смеси при трении в потоке разрушенного вещества и получено аналитическое выражение для закона тепловыделения при термическом разложении смеси октогена с алюминием. Численное моделирование картины инициирования взрыва смеси выполнено в предположении физико-механического подобия процессов разрушения зарядов в методе РО и при обычных испытаниях ВВ на чувствительность к удару на копре. Анализ полученных временных зависимостей параметров растекающегося вещества показывает, что химическое взаимодействие между компонентами смеси активно проявляется при динамической разгрузке зарядов октогена с наноразмерными частицами алюминия и практически отсутствует в смесях с алюминием с частицами микронного размера.

Ключевые слова: сжатие, разрушение, разгрузка, истечение, разогрев, взрыв.

DOI: 10.31857/S0207401X22030050

ВВЕДЕНИЕ

Научно-методические и производственнотехнические вопросы испытаний взрывчатых веществ (ВВ) на чувствительность к механическим воздействиями постоянно привлекают внимание специалистов по разработке и исследованию новых ВВ и взрывчатых составов [1, 2]. Относительно новый метод испытаний твердых ВВ [3], безударный по своей природе и известный как метод разрушающейся оболочки (РО), интересен тем, что построенный по результатам экспериментов ряд чувствительностей ВВ совпал с соответствующим рядом, полученным в опытах с ударом на копре по методу критических давлений (КД). Причем значения критических давлений инициирования $(P_{_{
m KD}})$ по методу РО оказались приблизительно в 1.5 раза больше соответствующих копровых величин.

Напомним, что в методе РО испытываемое ВВ в насыпном виде помещается в зазор между плоскими поверхностями двух удлиненных роликов (пуансонов), которые вместе с зарядом вставляются в тонкостенную плексигласовую втулку (оболочку).

Полученная испытательная сборка устанавливается вертикально между поршнем и траверсой гидропресса и далее нагружается давлением до разрыва оболочки. Давление в момент ее разрушения визуально фиксируется по показанию манометра пресса. Результат опыта (взрыв или отказ) зависит от давления нагрузки, массы заряда и толщины оболочки. Варьируя их величины, находят минимальное давление, при котором фиксируется взрыв и которое поэтому называется критическим. На практике часто ограничиваются лишь вариацией давления и массы заряда при постоянных размерах оболочки.

В отличие от метода КД при практическом использовании метода РО профиль спада давления не регистрируется. Поэтому до сих пор отсутствуют сведения о характере изменения толщины заряда и скорости разлета разрушенного вещества, которые необходимы для расчета температурного поля в заряде, координаты и времени возникновения взрыва. Без этих данных все рассуждения о механизме инициирования ВВ в методе РО представляются малоубедительными.

В настоящей работе выполнен приближенный теоретический анализ механической картины разрушения заряда в методе РО, на основе которой рассчитаны параметры инициирования смесей октогена с алюминием и уточнена формулировка [4] причины взрыва по механизму химического взаимодействия компонентов смеси при разрушении оболочки заряда.

ФИЗИЧЕСКАЯ МОДЕЛЬ ВЗРЫВА СМЕСИ ОКТОГЕНА С АЛЮМИНИЕМ

В экспериментах, приведенных в работе [4] использовался мелкокристаллический октоген с размером частиц 10—30 мкм и порошки алюминия со средним размером частиц 7 и 0.1 мкм, которые для краткости обозначим как Al(7) и Al(0.1). Известно [5, 6], что твердые частицы алюминия способны сенсибилизировать заряды октогена при ударе на копре вследствие их высокого фрикци-

онного разогрева в момент разрушения заряда. Поэтому для расчетов показателей чувствительности смесей октогена с алюминием по методу РО должное внимание следует уделить разработке фрикционно-механической модели поведения смеси и определению ее теплофизических и термохимических характеристик.

1. Тепловыделение в смеси

Сведения о теплотах взрывчатого превращения смесей октогена с алюминием получим, используя данные работы [7], в которой экспериментально с помощью детонационного калориметра определены значения Q в зависимости от состава смесей, определяемого содержанием α алюминия. Путем статистической обработки данных [7] найдем приближенную интерполяционную зависимость $Q(\alpha)$ в МДж/кг для смесей из порошков средней дисперсности в виде

$$Q(a) = \begin{vmatrix} 5.52(1+3.2\alpha-3.5\alpha^2+2.5\alpha^3-37\alpha^4-25\alpha^5+170\alpha^6-95\alpha^7), & 0 \le \alpha \le 0.5, \\ 4.735[1-5(\alpha-0.5)+5(\alpha-0.5)^2+3.5(\alpha-0.5)^3], & 0.5 < \alpha \le 0.865, \\ 0, & 0.865 < \alpha \le 1. \end{aligned}$$
 (1)

2. Модель фрикционной частицы смеси

Разработанная в работе [5] модель воспламенения фрикционной частицы двухкомпонентной смеси при ударе, правильная по своему физическому содержанию, представляется "тяжеловатой" для проведения многочисленных расчетов типа установления зависимости $P_{\kappa p}(\alpha)$. Упрощенный вариант пригодной для расчетов модели элементарной частицы смеси, состоящей из компонентов 1 и 2, представляется приблизительно таким: пусть сферическая частица 1 диаметром d_1 и плотностью ρ_1 окружена сферическим слоем вещества 2 с плотностью ρ_2 . Если $\rho = [(1-\alpha)/\rho_1 + \alpha/\rho_2]^{-1}$ – плотность смеси, то массовая концентрация 2-го компонента составляет $\alpha = 1 - {\rho_1 d_1^3} / {\rho d^3}$. Отсюда получим в первом приближении размер *d* частицы бинарной смеси:

$$d = d_1[1 + \alpha \rho_1/(1 - \alpha)\rho_2]^{1/3}.$$
 (2)

Из (2) следует, что $d \to d_1$ при $\alpha \to 0$, но $d \to \infty$ при $\alpha \to 1$, что, естественно, для последующих расчетов неприемлемо. Повторяя вышеприведенные

рассуждения для частицы 2, окруженной слоем вещества 1, получим второе приближение для диаметра элементарной частицы смеси:

$$d = d_2[1 + (1 - \alpha)\rho_2/\alpha\rho_1]^{1/3}.$$
 (3)

Здесь $d \to \infty$ при $\alpha \to 0$. Чтобы избежать неопределенностей для d на концах интервала $\alpha \subseteq (0, 1)$, приравняем (2) к (3), определяя таким образом равновозможную для d_1 и d_2 концентрацию смеси

$$\alpha_c = [1 + \rho_1 d_1^3 / \rho_2 d_2^3]^{-1}$$
, и окончательно запишем

$$d(\alpha) = \left| d_1 [1 + \alpha \rho_1 / (1 - \alpha) \rho_2]^{1/3}, \quad 0 \le \alpha \le \alpha_c, \right.$$

$$\left| d_2 [1 + (1 - \alpha) \rho_2 / \alpha \rho_1]^{1/3}, \quad \alpha_c < \alpha \le 1.$$
(4)

Далее будем считать, что формула (4) определяет размер элементарной частицы смеси, которая обладает всеми ее физико-механическими свойствами — плотностью, теплоемкостью и теплопроводностью — величинами, аддитивными по компонентам 1 и 2, теплотой взрывчатого превращения, определяемой формулой (1), прочностью на сжатие [5]

$$\sigma(\alpha) = \sigma_1 \{ [1 + \alpha \rho_1 / (1 - \alpha) \rho_2] / [1 + \alpha \rho_1 \sigma_1 / (1 - \alpha) \rho_2 \sigma_2] \}. \tag{5}$$

Но при этом термоактивационные характеристики частицы (E и Z) будут определяться характери-

стиками октогена в предположении, что алюминий не влияет на закономерности его терморас-

пада, что, несомненно, является весьма сильным предположением.

Отметим, что выполнению перечисленных выше требований к частице смеси способствует то обстоятельство, что время ее прогрева $\sim d^2/\chi$ ($\chi = \lambda/C\rho$ — температуропроводность частицы смеси) $\approx (10^{-5})^2/2 \cdot 10^{-5} = 5 \cdot 10^{-6}$ с (специальный рассчет для наиболее крупных частиц смеси) много меньше характерного времени разрушения заряда, составляющего несколько десятков микросекунд.

С введением понятия об элементарной частице смеси заметно упрощается вывод уравнений ее движения и энергии. В частности, уравнение теплового баланса на фрикционном контакте частицы и пуансона в квазиадиабатическом приближении запишется в виде

 $(\pi d^3/6)C\rho dT/dt = \pi d^2\omega\sigma(\alpha)wr_0 (h_0/h)^{1/2}/2\sqrt{3}h$, (6) где $\omega = \{1 + [\lambda_p C_p \rho_p/\lambda C\rho]^{1/2}\}^{-1}$ — коэффициент распределения тепловых потоков на фрикционном контакте стальной пуансон (нижний индекс "p") — ВВ, w = -dh/dt — скорость осевого сжатия заряда толщиной h, r_0 — начальная координата пробной (лагранжевой) частицы смеси. Подставляя в (6) значение σ , взятое из зависимости силового сопротивления слоя ВВ осевому сжатию $P_0 \approx 2\sigma R/3\sqrt{3}h_0$, найдем величину подъема температуры частицы на контакте:

$$\Delta T = [18\omega P_0 h_0 r_0 / (C\rho Rd)][(h_0/h)^{1/2} - 1].$$

Здесь P_0 и h_0 — давление и толщина заряда в момент начала разрушения оболочки. Полагаем, что в смесях октогена с алюминием ведущей стадией взрывного превращения является распад октогена. Тогда при одинаковых (в среднем) временах разрушения и взрыва смесевых зарядов температуры начала распада октогена также должны быть приблизительно одинаковыми. Отсюда следует, что в критических условиях инициирования исследуемых зарядов приближенно должно выполняться гиперболическое соотношение $P_0h_0 \approx$ const. Полученное выражение облегчает формулировку начальных условий задачи о построении зависимости $P_{\rm kp}(\alpha)$, поскольку экспериментальные значения h_0 , полученные по методу PO, в работах [3,4] отсутствуют.

3. Механика испытаний и моделирование взрыва

Представляется очевидным, что непосредственно перед разрушением оболочки система нагружения пресса и испытательный прибор по механическому поведению аналогичны сжатой пружине с энергией E_0 . С момента разрушения оболочки сжатая взрывчатая смесь, свободная от боковой поддержки оболочкой, начинает деформироваться в осевом направлении распрямляю-

щимися пуансонами и, соответственно, растекаться вдоль радиуса прибора. Возникшая картина радиально-осевого течения вещества в целом представляется аналогичной той, которая проявляется в процессе разрушения ВВ при ударе на копре, когда достигаются условия механической прочности заряда [8]. В работе [5] получены уравнения, описывающие динамику вязкопластического течения, объемно-диссипативного разогрева и локального теплового воспламенения заряда ВВ в критических условиях удара. Воспользуемся этими уравнениями для описания процесса возбуждения взрыва в смеси октогена с алюминием при инициировании заряда октогена по методу РО с учетом того, что основную роль в диссипативном разогреве ВВ играет сухое трение элементарных частиц смеси на контактных поверхностях пуансонов:

$$dh/dt = -w, \quad dP/dt = (k/S)(v - w),$$

$$dv/dt = -PS/M,$$

$$P(0) = P_0, \quad h(0) = h_0, \quad v(0) = 0,$$

$$dw/dt = (8h/\rho R^2)[P - 2\sigma R/(3h\sqrt{3}) - 3w^2/2h, \quad w(0) = 0,$$

$$dT/dt = 3\omega[\sigma(\alpha) + 3\mu w/h]wr_0 (h_0/h)^{1/2}/(hdC\rho) - 6\alpha_0 (T - T_0)/(dC\rho) + QZW(t)/C, \quad T(0) = T_0,$$

$$d\eta/dt = ZW(t), \quad \eta(0) = 0,$$

$$W(t) = (1 - \eta) \exp(-E/R_o T).$$

Здесь M — масса испытательного прибора, механическая жесткость которого характеризуется константой k; α_0 — коэффициент теплообмена между зарядом и контактной поверхностью пуансона; η — относительная концентрация продуктов распада BB; R_g — газовая постоянная. Полагаем, что термораспад BB протекает по закону химической реакции 1-го порядка с аррениусовской зависимостью константы скорости от температуры.

Система уравнений (7) с учетом выражений (1), (4), (5) интегрировалась численно при следующих условиях:

1) сжатие заряда пуансонами сопровождается его деформационным разупрочнением до полной потери несущей способности ($\sigma_k = 0$), фрикционным разогревом частиц и пластическим разогревом заряда в целом. Полагаем, что в состоянии текучести реологические характеристики BB зависят от температуры и давления следующим образом:

$$\sigma = \sigma_0 (1 - \varepsilon / \varepsilon_k)^s,$$

$$\mu = \mu_0 \exp[(-U/R_g)(1/T_0 - 1/T) + \beta P],$$

где $\varepsilon = (h_0 - h)/h_0$ — осевая деформация заряда, ε_k — предельная деформация, β — пьезомодуль

_	The second secon												
	α	d, MKM	E_0 , Дж	P_0 , ГПа	h_0 , мм	$σ_0$. ΜΠ a	μ_0 , кПа · с	t_k , MKC	w_m , M/c	T_i , K	T_k , K	$(e_i)_k$, Дж	
	0	30	2.38	1.0	0.50	125	0.82	36.3	38.0	695	896	1.93	
	0.2	30/7	1.72	0.85	0.85	150	27.1	79.2	4.02	670	888	1.07	
	0.3	30/0.1	0.77	0.57	1.31	165	2.84	99.8	0.31	670	885	0.15	

Таблица 1. Параметры инициирования зарядов из смеси октогена с алюминием

Примечание: сборка из заряда и пуансонов помещена в плексигласовую оболочку с толщиной стенок 1.5 мм; для дробных чисел *d* указаны размеры частиц октогена (в числителе) и алюминия (в знаменателе).

плавления, U — активационный параметр текучести, γ — пьезокоэффициент вязкости, показатель степении $0 < s \le 1$;

- 2) критические условия взрыва определяются вариацией различных параметров задачи (главным образом, P_0 , h_0 , r_0 , μ_0), но регистрируются только при снижении P до нуля в конечный момент времени t_k ; воспламенения при $t > t_k$ вследствие их неспособности привести к развитию взрыва в заряде BB считаются отказами;
- 3) взрывная реакция начинается в тот момент времени разрушения заряда, когда температура в горячей точке на 1 К превышает температуру в таком же по физико-механическим свойствам заряде, изготовленном из химически инертного вещества;
- 4) полноценное воспламенение фиксируется при $\eta_k = 1$, пробная частица при $t = t_k$ не должна

выходить за пределы контактной поверхности пуансона $(r_k \le R)$;

5) все рассматриваемые взрыво-механические процессы прекращаются при $t > t_k$ и далее не рассматриваются.

В расчетах использовались следующие физико-химические характеристики октогена: $Q_0 = 5.5 \, \mathrm{MДж/kr} \, [9], C = 1.05 \, \mathrm{кДж/(kr \cdot K)}, \rho = 1.9 \, \mathrm{kr/дm^3}, \lambda = 0.12 \, \mathrm{Дж/(m \cdot c \cdot K)}, E = 188 \, \mathrm{кДж/моль}, \, \lg(Z), c^{-1} = 16 \, [10]. \, \mathrm{Для}$ алюминия использованы табличные значения: $C = 0.88 \, \mathrm{кДж/(kr \cdot K)}, \, \rho = 2.7 \, \mathrm{kr/дm^3}, \, \lambda = 209 \, \mathrm{Дж/(m \cdot c \cdot K)}. \, \mathrm{B} \, \mathrm{табл}. \, 1 \, \mathrm{u} \, \mathrm{ha}$ рис. $1-5 \, \mathrm{представлены} \, \mathrm{полученные} \, \mathrm{результаты}$ расчетов. $\mathrm{Для} \, \mathrm{всех} \, \mathrm{BB} \, \mathrm{приняты} \, \mathrm{одинаковыми} \, \mathrm{значения} \, \mathrm{следующиx} \, \mathrm{параметров}: U = 20 \, \mathrm{кДж/моль}, \, \gamma = 5 \, \Gamma \Pi a^{-1} \cdot M = 0.35 \, \mathrm{kr}, \, k = 81 \, \mathrm{MH/m}, \, \alpha_0 = 10^3 \, \mathrm{Дж/(m^2 \cdot c \cdot K)}, \, \epsilon_k = 0.23, \, s = 0.7.$

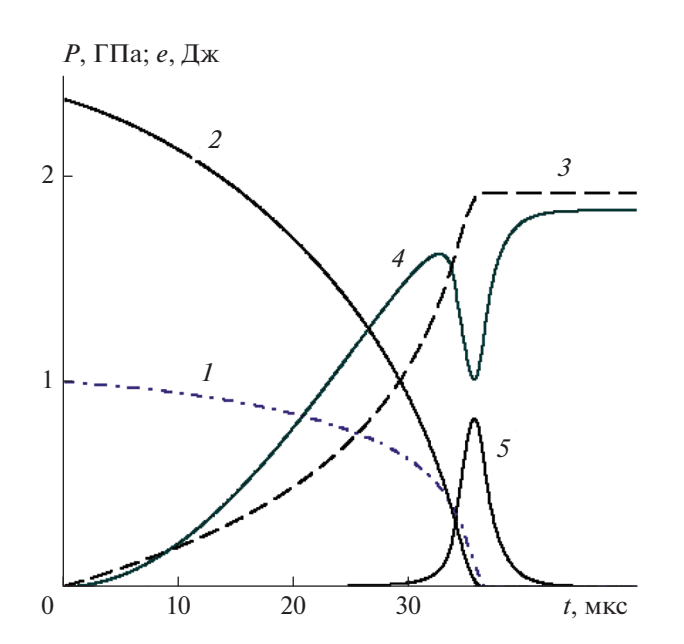


Рис. 1. Изменение видов энергии и давления в разрушаемом заряде октогена во времени: I — давление P, 2 — упругая энергия e_e , 3 — внутренняя энергия e_i , 4 — кинетическая энергия e_{k1} системы нагружения, 5 — кинетическая энергия e_{k2} радиального потока вещества.

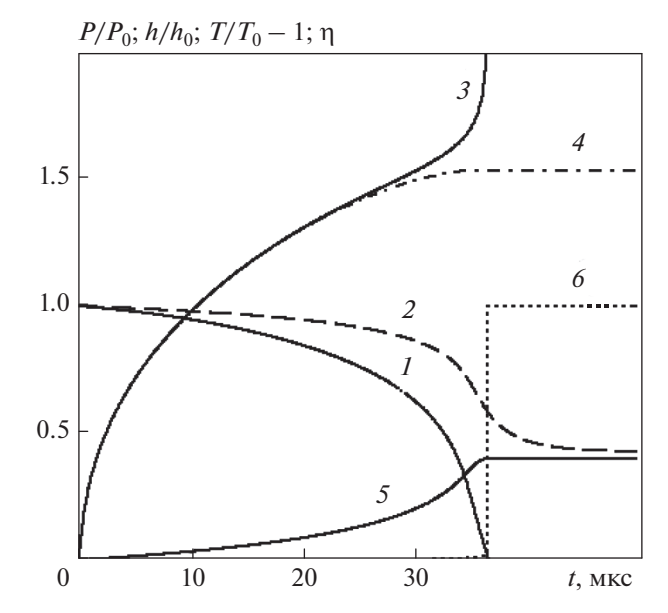


Рис. 2. Зависимость от времени параметров растекающегося заряда октогена: 1 — давление P, 2 — толщина h, 3 — температура T в горячей точке, 4 — температура в горячей точке для инертного аналога октогена, 5 — средняя температура заряда, 6 — относительная концентрация η продуктов распада октогена в горячей точке заряда.

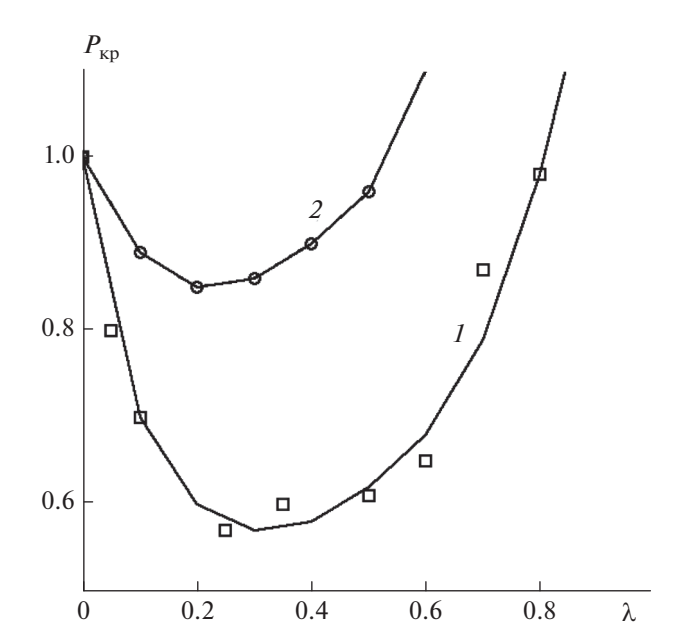


Рис. 3. Критическое давление инициирования смесей на основе октогена в зависимости от содержания алюминия (α): кривая I - A(0.1), кривая 2 - A(7). Значки — данные эксперимента [4].

ОБСУЖДЕНИЕ РЕЗУЛЬТАТОВ

Прежде всего отметим, что с момента разрушения оболочки испытательного прибора система нагружения пресса трансформируется в колебательную систему с характерными частотой $(k/M)^{1/2}$ и скоростью $V_0 = P_0 S/(Mk)^{1/2}$. Причем в первый период колебаний, во время которого происходят разрушение и выброс заряда, система стремится занять состояние полной разгрузки, испытывая деформационное "расширение". При этом плоские торцы пуансонов по закону сохранения импульса в прессовой системе нагружения сдвигаются разнонаправлено: контактная поверхность сжимает заряд со скоростью w, а обращенный к поршню (траверсе) торец пуансона движется со скоростью системы -v. Значения указанных скоростей существенно зависят от реологических характеристик исследуемых смесевых составов.

На рис. 1 представлены графики изменения различных видов энергиии в критических условиях инициирования заряда октогена ($P_0=1.0~\Gamma\Pi a,\,h_0=0.5~\mathrm{mm}$): упругой энергии $e_e=P^2S^2/2k$ (кривая I), внутренней энергии заряда $e_i=S\int Pwdt$ (кривая I), кинетической системы нагружения I0, кинетической системы нагружения I1, кинетической системы растекающегося заряда I2, кривая I3, включая энергию растекающегося заряда I3, кинетической системы I4, где радиальная компонента скорости I5, и I6, и I7, и I7, и I8, и I9, и I9, где радиальная компонента скорости I9, и I

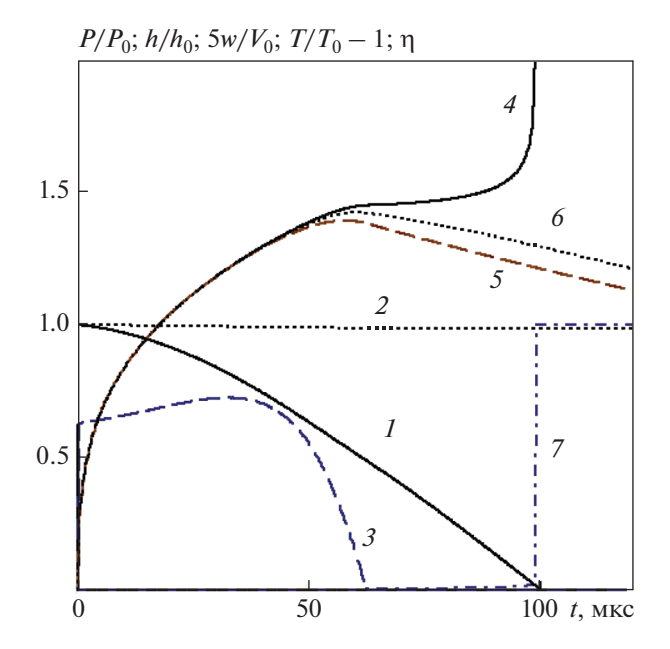


Рис. 4. Зависимость параметров потоков в смеси октоген—A(0.1) 70/30 от времени разрушения заряда: I давление P, 2 — толщина h, 3 — скорость осевого сжатия w, 4 — температура T в горячей точке, 5 — температура в горячей точке для инертного аналога октогена в смеси, 6 — то же при отсутствии химического взаимодействия между компонентами смеси, 7 — относительная концентрация η продуктов распада смеси в горячей точке заряда.

течение всего времени наблюдения и равна $E_0 = P_0^2 S^2 / 2k = 2.38 \, \text{Дж}.$

Из рис. 1 следует, что большая часть запасенной в прессовой системе нагружения энергии E_0 затрачивается на увеличение внутренней энергии разрушающегося заряда (к моменту взрыва e_i = $= 0.83E_0$), остальная часть расходуется на кинетическую, которая непрерывно перераспределяется между энергиями системы нагружения и заряда. Большой отток энергии на рост e_i позволяет судить о том, что инициирование ВВ по методу РО является эффективным способом возбуждения взрыва, поскольку увеличение внутренней энергии означает высокий подъем температуры заряда, особенно в его горячих точках. Этот вывод представляется закономерным, поскольку разрушение BB сопровождается высокой скоростью осевого сжатия заряда (ее максимум составляет $w_m = 38 \text{ м/c}$), интенсивной деформацией продуктов разрушения (градиент скорости сжатия достигает $2 \cdot 10^4 \text{ c}^{-1}$) и большим диссипативным разогревом вещества (максимальный подъем средней температура заряда ВВ составляет 410 К).

Характер изменения температуры в горячей точке заряда октогена показан на рис. 2. При указанных выше параметрах инициирования заряда

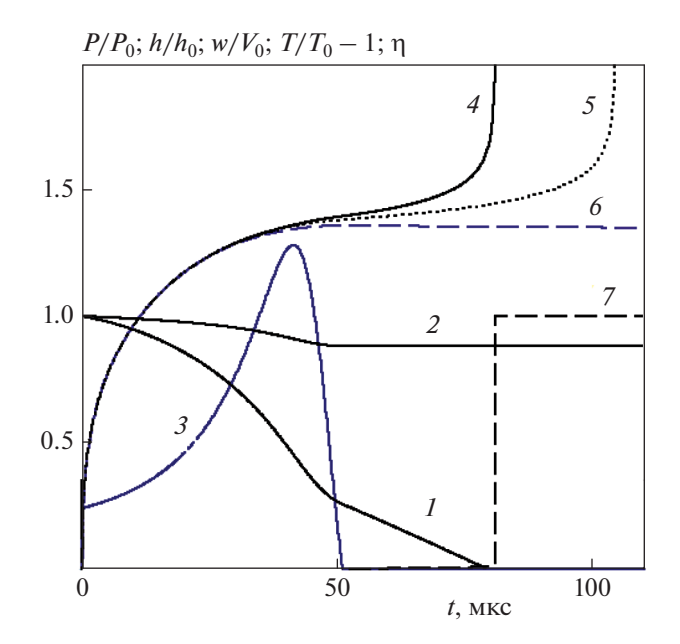


Рис. 5. Зависимость параметров потоков в смеси октоген—A(7) 80/20 от времени разрушения заряда. Обозначения те же, что и на рис. 4.

взрывы при $t = t_k$ фиксируются в узком диапазоне значений r_0 : $0.18 < r_0 < 0.21$ мм, т.е. при начальном расположении горячей частицы вблизи оси заряда, где давление максимально. В противном случае взрывы возникают только при $t > t_k$.

Следует отметить, что хотя к моменту взрыва $(t_k=36.0\,\,\mathrm{MKC})$ заряд полностью разупрочнился $(\sigma_k=0)$, толщина его благодаря высокой вязкости вещества $(\mu_k=0.20\,\,\mathrm{k\Pi a\cdot c})$ оставалась еще весьма значительной $(h_{k\eta}=0.29\,\,\mathrm{mM})$. Большая толщина остаточного слоя октогена благоприятствует развитию в нем взрыва из очага инициирования.

Наряду с температурной кривой в горячей точке заряда октогена штриховой кривой на рис. 2 показано изменение температуры в заряде такого же по физико-механическим свойствам инертного вещества. Видно, что признаки реакции термораспада в реальном октогене появились в момент времени, соответствующий 22.4 мкс, при температуре $T_i = 694 \text{ K } (\eta_1 = 1.9 \cdot 10^{-4})$ и локальном давлении 2.24 ГПа (среднее давление P составляло в этот момент 0.81 ГПа). Далее химическая реакция развивалась в течение 13.6 мкс и завершилась взрывом октогена при $T_k = 885 \text{ K}$, $\eta_k = 0.03$ и $P_k = 60$ МПа.

Приведенные термокинетические параметры взрывного инициирования октогена хорошо коррелируют с результатами расчета характеристик возбуждения взрыва в заряде октогена при ударе на копре [5]. За исключением величины критического давления инициирования $P_{\rm kp}$, которое по методу РО в 1.47 раза больше, чем при копровых

испытаниях [3]. Это различие критических давлений можно приближенно объяснить, если считать ответственным за инициирование ВВ наличие запаса энергии в механической системе нагружения — копровой (далее — с индексом "1") и гидропресса (индекс "2"). Составим условие равенства упругих энергий, дополнив его запись соответствующими коэффициентами отбора V, реально свидетельствующими о величинах внутренних составляющих полных энергий разрушенных зарядов: $P_1^2 S_1^2 n_1 / 2k_1 = P_2^2 S_2^2 n_2 / 2k_2$. Полагая $S_1 / S_2 = 4/1$, $k_1 / k_2 = 0.25 / 0.08$, $v_1 / v_2 = 0.3 / 0.8$ [5], найдем для октогена значение отношения $P_2 / P_1 = 1.39$, близкое к экспериментальному значению.

Описанная выше картина РО-инициирования октогена в целом присуща и алюминизированным смесям на его основе. Однако имеются различия, связанные со значительным изменением физико-механических и теплофизических характеристик смесевых систем. При увеличении содержания алюминия в смеси прочность зарядов возрастает незначительно, но существенно увеличивается их пластическая вязкость (для смесей с Al(0.1) она возрастает на два порядка величины). В результате снижаются уровень деформационного разупрочнения зарядов и их компрессия (степень сжатия) при разрушении. Это обстоятельство приводит к уменьшению объемного (вязкопластического) разогрева зарядов и снижению роли соответствующего ему механизма инициирования взрыва. Однако отмеченный "флегматизирующий" эффект алюминизации заряда успешно компенсируется возрастанием роли фрикционного разогрева частиц алюминия при их скоростном скольжении вдоль контактных поверхностей пуансонов в результате разрушения заряда. Раскаленные частицы алюминия активно обмениваются теплом с окружающим октогеном, инициируя в нем реакцию термораспада.

В результате действия конкурирующих факторов (возрастающая в целом при локальных фрикционных разогревах температура на контактной поверхности и снижение деформируемости алюминизированных зарядов) на графике зависимости $P_{\kappa \mathrm{D}}(\alpha)$ появляется характерный минимум, который заметно углубляется и расширяется при уменьшении размера частиц алюминия. Этот результат есть следствие существенной поддержки тепловыделения, связанного с фрикционным механизмом инициирования взрыва, экзотермическим эффектом химического взаимодействия компонентов (или продуктов их первичного распада) в очагах медленно (в условиях пониженного давления) реагирующего вещества. Механизм взрыва вследствие химического взаимодействия компонентов (или продуктов их первичного распада), характерный для смесей типа окислитель—горючее [4], успешно функционирует в алюминизированных

составах вследствие высокой химической активности свежеобразованных поверхностей на частицах алюминия, образующихся при разрушении заряда и при различных силовых взаимодействиях частиц в радиальном потоке вещества. Очевидно, что протеканию реакций химического взаимодействия компонент смеси способствует многократное возрастание потенциально возможной площади контактно-реакционной поверхности в смеси при сокращении размеров составляющих ее частиц. На рис. 3 приведены экспериментальные [4] и рассчитанные по представленной теории зависимости $P_{\rm kp}(\alpha)$ для смесей октогена с алюминием ${\rm Al}(7)$ — кривая 1 и ${\rm Al}(0.1)$ — 2.

На рис. 4 представлены зависимости параметров потоков от времени при динамической разгрузке наиболее чувствительной смеси октоген/Al(0.1) состава 70/30. Из рис. 2 и 4 следует, что увеличение вязкости заряда приводит к почти трехкратному возрастанию времени разгрузки и многократному уменьшению скорости приложения нагрузки к смеси. Поэтому исследуемый смесевой заряд практически не разупрочняется, не деформируется и (в среднем) не нагревается (средняя температура заряда поднимается всего лишь на 2 К). Однако в начальный момент разгрузки вследствие резкого возрастания скорости сжатия в заряде создается сравнительно высокий локальный разогрев смеси в плоскости трения (начальное значение координаты пробной частицы $r_0 = 0.25$ мм). Через 40 мкс температура в горячей точке вследствие термораспада октогена поднимается до $T_i = 670 \text{ K}$ ($P_1 = 0.43 \text{ ГПa}$, $\eta_1 = 1.3 \cdot 10^{-4}$), и далее начинается ее интенсивный рост вследствие протекания химических реакций взаимодействия продуктов взрыва октогена с алюминием, которые заканчиваются тепловым взрывом через следующие 60 мкс (кривая I), даже несмотря на эффект сильного охлаждения реагирующей смеси. Оно проявляется в виде заметного спада температуры в горячей точке смеси алюминия с инертным аналогом октогена (кривая 5 на рис. 4), приводящего к отказу взрыва. Отметим, что в отсутствие химического взаимодействия в реакционноспособной смеси, т.е. при $Q(\alpha) = Q_0$, взрыв также не возникает (кривая 6). Не происходит он и при слабом (менее чем в 2 раза) увеличении коэффициента теплоотдачи от заряда к стальным роликам (пуансонам).

Введение среднедисперсного алюминия Al(7) в октоген не сильно влияет на определение его чувствительности по методу PO, снижая критическое давление инициирования в среднем лишь на 10%. На рис. 5 показано изменение параметров потоков в наиболее чувствительной смеси состава 80/20 в зависимости от времени разгрузки. Величина пластической вязкости этой смеси заметно меньше вязкости смеси с Al(0.1) и лишь втрое превышает вязкость самого октогена. В результа-

те наблюдаются: сокращение в 1.5 раза (по сравнению с предыдущим расчетом) времени разгрузки системы нагружения; эффект значительного разупрочнения заряда (характерный излом на кривой зависимости P(t) свидетельствует о прекращении сжатия смеси); увеличение диссипативного нагрева вещества (средняя температура ВВ достигает 326 К). Это способствует тому, что тепловые процессы в горячей точке заряда существенно отличаются от аналогичных процессов в предыдущем примере. Кривая температуры 4 до взрыва практически совпадает с температурной кривой 6 для смеси с инертным аналогом октогена. Более того, при условии $Q(\alpha) = Q_0$, т.е. в отсутствие межкомпонентного химического взаимодействия, взрыв также имеет место (кривая 5), но с несколько увеличенной (на 20 мкс) задержкой по сравнению с расчетами для смеси с реакцией. Взрывы смеси наблюдаются и при увеличении на порядок значения коэффициента теплообмена α_0 , но они происходят уже с несколько более высокой задержкой.

Таким образом, из полученных данных о поведении смесевых составов на основе октогена при разгрузке по методу РО следует, что в случае компоновки составов нанодисперсным алюминием реакциями химического взаимодействия компонентов активно поддерживается термораспад октогена, вызванный фрикционными процессами на контактных поверхностях заряда (критическое давление инициирования смеси снижается почти вдвое по сравнению с чистым октогеном). В случае компоновки рассматриваемых составов среднеили крупнодисперсным алюминием поддержка распада ВВ за счет тепловыделения при химическом взаимодействии представляется весьма слабой (критические давления снижаются не более чем на 15%). Причем возникновение взрыва в этом случае объясняется высоким сенсибилизирующим эффектом твердых частиц алюминия, выполняющих своеобразную роль "поджигателя" октогена в потоке фрагментов разрушенного заряда.

выводы

- 1. Выполнен приближенный теоретический анализ метода испытаний твердых ВВ на чувствительность к механическим воздействиям, основанного на явлении взрыва при резком снятии высокой силовой нагрузки к исследуемому заряду.
- 2. С помощью численных экспериментов, выполненных в соответствии с математической моделью поведения зарядов при разгрузке, установлены значения критических параметров инициирования ВВ давления, скоростей сжатия и разлета вещества, диссипируемой температуры, задержи взрыва и его местоположения в заряде.

- 3. Показано, что инициирование взрыва металлизированных ВВ связано с преобразованием части упругой энергии, запасенной в системе нагружения, в тепловую на контактных плоскостях испытательного прибора при фрикционном движении фрагментов разрушения заряда.
- 4. В смесях октогена с наночастицами алюминия инициирование взрыва происходит по комбинированному механизму следующего типа: фрикционный разогрев и активация частиц алюминия медленный термораспад октогена быстрое химическое взаимодействие компонентов ($P_{\rm kp} \approx 0.45~\Gamma\Pi a$), в смесях со средне- и крупнодисперсным алюминием взрыв в основном сенсибилизируется фрикционно разогретыми частицами металла, поджигающими октоген ($P_{\rm kp} \approx 0.85~\Gamma\Pi a$). Взрыв в октогене возбуждается при $P_{\rm kp} = 1.0~\Gamma\Pi a$.

Работа выполнена за счет субсидии, выделенной ФИЦ ХФ РАН на выполнение госзадания по теме 44.8 "Фундаментальные исследования процессов превращения энергоемких материалов и разработка научных основ управления этими

процессам" (регистрационный номер AAAA-A17-117040610346-5).

СПИСОК ЛИТЕРАТУРЫ

- 1. *Гудкова И.Ю.*, *Зюзин И.Н.*, *Лемперт Д.Б.* // Хим. физика. 2020. Т. 39. № 3. С. 53.
- 2. *Назин Г.М., Корсунский Б.Л.* // Хим. физика. 2021. Т. 40. № 3. С. 53.
- Щетинин В.Г. // Физика горения и взрыва. 1999.
 Т. 35. № 5. С. 116.
- 4. Теселкин В.А. // Хим. физика. 2008. Т. 27. № 8. С. 43.
- Дубовик А.В., Понафидин Р.В. // Горение и взрыв. 2018. Т. 11. № 4. С. 68.
- 6. Дубовик А.В., Дмитриев Н.В., Леонтьев В.О. // Горение и взрыв. 2019. Т. 12. № 1. С. 117.
- 7. Махов М.Н. // Хим. физика. 2020. Т. 39. № 9. С. 71.
- 8. *Афанасьев Г.Т., Боболев В.К.* Инициирование твердых взрывчатых веществ ударом. М.: Наука, 1968.
- 9. *Пепекин В.И., МИахов М.Н., Лебедев Ю.А.* // Докл. AH СССР. 1977. Т. 232. № 4. С. 852.
- 10. *Манэлис Г.Б., Назин Г.М., Рубцов Ю.И., Струнин В.А.* Термическое разложение и горение взрывчатых веществ и порохов. М.: Наука, 1995.